

# ЭКЗАМЕНАЦИОННАЯ КОНТРОЛЬНАЯ РАБОТА ПО ФИЗИКЕ

Для студентов 2-го курса МФТИ

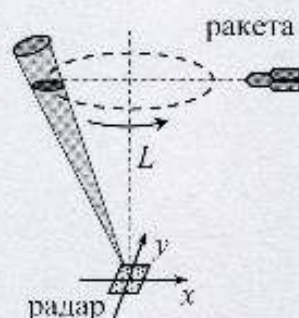
11 июня 2015г.

ФИО	№ группы

ВАРИАНТ А

1	2	3	4	5	Σ	оценка

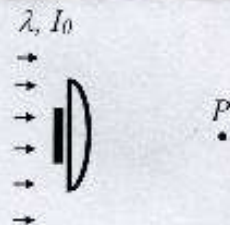
1А. Фазированная антенная решётка (радар) представляет собой неподвижную квадратную двумерную решётку излучателей периода  $d$ , излучающую радиоволны длиной  $\lambda = 10$  см (размер решётки  $D = 10$  м). Для управления лучом радара (направлением главного дифракционного максимума) начальные фазы излучающих элементов  $\varphi$  меняются по закону  $\varphi(x, y, t) = \frac{\varphi_0 x}{\lambda} \sin \Omega t + \frac{\varphi_0 y}{\lambda} \cos \Omega t$ , где  $\varphi_0 = \frac{\pi}{10}$ ,  $\Omega = 20\pi$  рад/с. Оцените, с какой минимальной скоростью  $v$  должна двигаться ракета, чтобы, пролетая через центр зоны облучения на расстоянии  $L = 100$  км от радара, иметь шанс остаться незамеченной?



2А. При наблюдении колец Ньютона в отражённом свете через микроскоп было обнаружено, что если навести микроскоп точно на верхнюю поверхность плоской стеклянной пластинки, то можно разглядеть  $m_1 = 100$  тёмных колец, а если после этого поднять тубус микроскопа на  $\delta = 1$  мм, то можно разглядеть только  $m_2 = 10$  колец. Оцените ширину спектра  $\Delta\lambda$  и угловой размер  $\theta$  источника излучения, если известно, что средняя длина волны  $\lambda = 400$  нм, а радиус кривизны выпуклой поверхности линзы  $R = 2,5$  см.

Указание. Для оценки можно пренебречь преломлением света на изогнутой поверхности линзы и считать, что в микроскоп наблюдается интерференция плоской волны, отражённой от пластинки, и сферической волны, отражённой от выпуклой поверхности линзы.

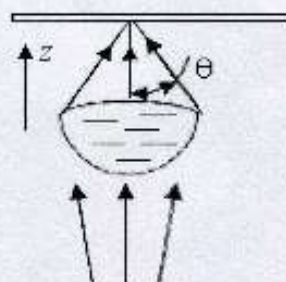
3А. Круглый диск диаметра  $d$ , изготовленный из поляроидной плёнки, освещается нормально падающей плоской волной естественного света (длина волны  $\lambda$ , интенсивность света  $I_0$ ). Во сколько раз изменится интенсивность света в точке  $P$ , если вплотную к диску поместить собирающую линзу диаметра  $2d$ , и при этом точка  $P$  окажется в фокусе линзы? Диск закрывает 1,5 зоны Френеля для точки  $P$  и для раз-  
решённого направления вносит фазовую задержку, кратную  $2\pi$ . Толщина линзы на краях равна нулю.



4А. В спектрах рентгеновской дифракции на тонких кристаллических пленках, помимо выраженных брэгговских пиков, наблюдаются слабые осцилляции, связанные с конечной толщиной пленки (осцилляции Киссига). Определите по представленной зависимости интенсивности отраженного рентгеновского излучения от угла скольжения: 1) толщину пленки; 2) расстояние между атомными плоскостями в направлении роста пленки. Длина волны рентгеновского излучения  $\lambda = 1,54$  Å. Учтите, что показатель преломления рентгеновского излучения в веществе близок к единице.



5А. В оптических Blu-ray приводах для острой фокусировки излучения полупроводникового лазера на диск используются светосильные асферические линзы, у которых отношение квадратов диаметра и фокусного расстояния  $\sim 1$ . Они обеспечивают почти идеальный сферический фронт сходящейся волны, но имеют малый продольный (вдоль оси  $z$ ) размер фокального пятна. Пайти, с какой точностью нужно поддерживать расстояние между линзой и поверхностью диска, чтобы еще не попасть в первый минимум (при продольном смещении) интенсивности световой волны. Числовая апертура  $\sin \theta = 0,85$ , длина волны  $\lambda = 0,405$  мкм, амплитуда световой волны одинакова во всех точках волнового фронта после линзы.





# ЭКЗАМЕНАЦИОННАЯ КОНТРОЛЬНАЯ РАБОТА ПО ФИЗИКЕ

Для студентов 2-го курса МФТИ

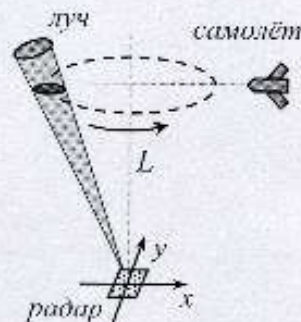
11 июня 2015г.

ФИО	№ группы

## ВАРИАНТ Б

1	2	3	4	5	Σ	оценка

**1Б.** Фазированная антенная решётка (радар) представляет собой неподвижную квадратную двумерную решётку излучателей периода  $d$ , излучающую радиоволны длиной  $\lambda = 10$  см (размер решётки  $D = 10$  м). Для управления лучом радара (направлением главного дифракционного максимума) начальные фазы излучающих элементов  $\varphi$  меняются по закону  $\varphi(x, y, t) = \frac{\varphi_0 x}{\lambda} \sin \Omega t + \frac{\varphi_0 y}{\lambda} \cos \Omega t$ , где  $\varphi_0 = \frac{\pi}{10}$ ,  $\Omega = 20\pi$  рад/с. Оцените, сколько раз самолёт, пролетающий с постоянной скоростью  $v = 500$  м/с через центр зоны облучения на расстоянии  $L = 100$  км от радара, окажется в области луча радара.



**2Б.** Для наблюдения колец Ньютона в отражённом свете используется источник света с угловым размером  $\theta = 5 \cdot 10^{-2}$  рад, средней длиной волны  $\lambda = 450$  нм и шириной спектра  $\Delta\lambda = 9$  нм. Кольца наблюдают с помощью микроскопа, сфокусированного на верхнюю поверхность стеклянной пластинки, на которой лежит плосковыпуклая линза с радиусом кривизны выпуклой поверхности  $R = 5$  см.

1. Какое максимальное число тёмных колец  $m_{\text{max}}$  можно увидеть в данных условиях?
2. Оцените, при каком максимальном смещении  $\delta$  тубуса микроскопа по вертикали количество видимых колец ещё не будет уменьшаться?

*Указание.* Для оценки можно пренебречь преломлением света на изогнутой поверхности линзы и считать, что в микроскоп наблюдается интерференция плоской волны, отражённой от пластинки, и сферической волны, отражённой от выпуклой поверхности линзы.

**3Б.** Плоскопараллельная прозрачная пластинка толщины  $d$  с показателем преломления  $n$  освещается параллельным, нормально падающим пучком света с длиной волны  $\lambda$  и интенсивностью  $I_0$ . В пластинке просверлено маленькое отверстие в 1,5 зоны Френеля для точки наблюдения  $P$ , лежащей на оси отверстия (см. рис.1).



Рис.2

Отверстие перекроено непрозрачным диском. Найти изменение интенсивности в т.  $P$ , если диск заменить линзой, вставленной в отверстие так, что точка  $P$  оказывается в фокусе линзы (толщина линзы на краях равна нулю, см. рис.2). При какой толщине пластинки интенсивность в т.  $P$  максимальна? Найти  $I_{\text{max}}$ .

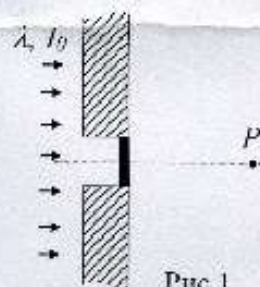
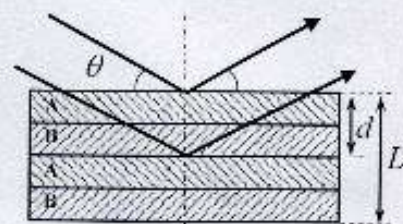


Рис.1

**4Б.** Наблюдается дифракция рентгеновского излучения ( $\lambda = 1,54$  Å) на многослойной структуре, составленной из чередующихся слоев материалов А и В. Толщины слоев  $t_A$  и  $t_B$  различны, межплоскостные расстояния в материалах А и В также различны. При этом на зависимости интенсивности отраженного излучения от угла скольжения наблюдаются пики, связанные с искусственной периодичностью структуры и



конечной толщиной всей многослойной пленки. Определить период структуры  $d = t_A + t_B$ , а также толщину многослойной пленки  $L$ . Учтите, что показатель преломления рентгеновского излучения в веществе близок к единице, и в рассматриваемом диапазоне углов скольжения структура дифракционной картины, связанная с отражением от отдельных атомных плоскостей, никак не проявляется.



**5Б.** В экспериментах по лазерному термоядерному синтезу для острой фокусировки лазерного излучения на мишень используются светосильные асферические линзы, у которых отношение квадратов диаметра и фокусного расстояния  $\sim 1$ . Они обеспечивают почти идеальный сферический фронт сходящейся волны, но имеют малый продольный размер фокального пятна. Пайти, насколько можно сместить мишень в продольном направлении от фокальной плоскости, чтобы еще не попасть в первый минимум интенсивности световой волны? Диаметр пучка  $D = 6$  см, фокусное расстояние  $F = 10$  см, длина волны  $\lambda = 0,53$  мкм, амплитуда световой волны одинакова во всех точках волнового фронта.



# ВАРИАНТ А

1А. (Данилин В.А.) Чтобы направление луча радара  $\theta_x$  указывало на максимум интенсивности вдоль координаты  $x$ , необходимо, чтобы разность фаз излучающих элементов решётки, находящихся на расстоянии  $d$ , была скомпенсирована начальной разностью фаз их излучения:  $\frac{2\pi}{\lambda} d \sin \theta_x = \varphi_0 \frac{d}{\lambda} \sin \Omega t$ ,  $\Rightarrow \sin \theta_x(t) = \frac{\varphi_0}{2\pi} \sin \Omega t$ . Учитывая, что  $\frac{\varphi_0}{2\pi} = \frac{1}{20}$ , синус угла можно заменить самим углом. Для  $x$ -координаты центра луча в плоскости  $z=L$  получим:  $x_c \approx L \theta_x = \frac{\varphi_0}{2\pi} L \sin \Omega t$ .

Аналогично находится угол  $\theta_y$ , указывающий на максимум интенсивности вдоль координаты  $y$ :  $\theta_y(t) \approx \frac{\varphi_0}{2\pi} \cos \Omega t$ . Для  $y$ -координаты центра луча в плоскости  $z=L$  получим:  $y_c \approx L \theta_y = \frac{\varphi_0}{2\pi} L \cos \Omega t$ .

Т.о., центр луча в плоскости  $z=L$  будет двигаться по окружности радиуса  $R = \frac{\varphi_0}{2\pi} L = 5$  км со скоростью  $v_{\text{луч}} \approx \Omega R = 314$  км/с.

Область пересечения луча с плоскостью  $z=L$  представляет собой круг (малые углы отклонения), радиус которого определяется дифракционным углом  $r = \frac{\lambda}{D} L = 1$  км.

Для того, чтобы ракета пролетела незамеченной, она должна за время оборота луча успеть пролететь поперечный размер луча, так что  $v_{\min} = \frac{2r}{T} = \frac{r}{\pi} \Omega = \frac{\lambda}{D} \frac{L \Omega}{\pi} = 20$  км/с.

2А. (Виноградов С.В.)  $m_1$  определяется максимальным порядком интерференции  $m_{\max} = \lambda / \Delta \lambda$ , откуда  $\Delta \lambda = \lambda / m_1 = 4$  нм. Радиусы тёмных колец  $r_m = \sqrt{m R \lambda}$ , расстояние между ними  $\Delta r_m \approx \sqrt{R \lambda / 4m}$ , причём  $\Delta r_m$  связано с углом  $\alpha$  схождения интерферирующих волн на данном радиусе формулой  $\Delta r_m = \lambda / \alpha$ , откуда  $\alpha = \lambda / \Delta r_m$ , а расстояние между интерферирующими лучами вдоль фронта волны от источника  $l = \alpha \cdot \delta$ . Это расстояние должно быть меньше радиуса пространственной когерентности:  $l = \alpha \cdot \delta < L_{\text{ког}} = \lambda / \theta$ , откуда получаем  $\theta = \frac{\sqrt{\lambda R / m_2}}{2\delta} \approx 1,5 \cdot 10^{-2}$  рад.

3А. (Локшин Г.Р.) 1. Без линзы. Для составляющей, параллельной разрешённому направлению поляроида (её интенсивность равна  $1/2 I_0$ ) диск прозрачен, интенсивность в т. Р равна  $1/2 I_0$ . Для ортогональной составляющей диск непрозрачен, в т. Р возникает пятно Пуассона, интенсивность в пятне равна  $1/2 I_0$ . Результирующая интенсивность – сумма интенсивностей ортогональных компонент – равна  $I_0$ .

2. С линзой. Линза перекрывает количество зон Френеля

$$m = \frac{(2r)^2}{\lambda z} = 4 \frac{r^2}{\lambda z} = 4m_0 = 6.$$

Линза «выстраивает» цепочку векторов, составляющих 6 зон спирали Френеля, длиной  $6\pi A_{||}$ , в коллинеарную цепочку векторов. Составляющая, параллельная разрешённому направлению поляроида, имеет амплитуду  $A_{||} = \sqrt{I_0/2}$ . Соответствующий вектор совпадает по направлению с вектором  $\vec{a}$ , последним в цепочке, составляющей 6 зон Френеля. Свет с той же поляризацией, проходящий вне линзы (через область  $|\rho| > d$ ) создаёт колебание  $\vec{A}_1$ :  $|\vec{A}_1| = A_{||}$ .

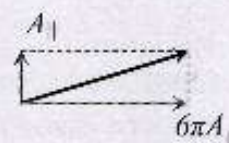
Итак, интенсивность колебания

$$I_{||} = (6\pi A_{||})^2 + A_{||}^2 = (6\pi + 1)^2 A_{||}^2 = (6\pi + 1)^2 I_0/2.$$

Для ортогональной компоненты ( $A_{\perp} = A_{||} = \sqrt{I_0/2}$ ) из цепочки длиной  $6\pi A_{\perp}$  диск «отрезает» вклад  $1,5\pi A_{\perp}$  полутора зон, поэтому

$$I_{\perp} = (6\pi A_{\perp} - 1,5\pi A_{\perp})^2 + A_{\perp}^2 = (4,5\pi + 1)^2 I_0/2.$$

Результирующая интенсивность





$$I = I_{\parallel} + I_{\perp} = (6\pi + 1)^2 \frac{I_0}{2} + (4,5\pi + 1)^2 \frac{I_0}{2} = \frac{I_0(8+84\pi+225\pi^2)}{8},$$

$$\frac{I(\text{с линзой})}{I(\text{без линзы})} = \frac{8+84\pi+225\pi^2}{8} \approx 312.$$

#### 4А. (Свинцов Д.А.)

Межплоскостное расстояние определяем по углам, соответствующим брэгговским пикам

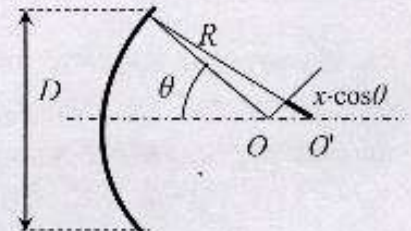
$$2d \sin \theta = m\lambda \Rightarrow d = \frac{\lambda}{2(\sin \theta_{m+1} - \sin \theta_m)} \approx \frac{\lambda}{2(\theta_{m+1} - \theta_m)} = \frac{1,54 \text{ \AA}}{2(0,3 - 0,15)} = 5 \text{ \AA}.$$

Осцилляции Киссига являются результатом интерференции волн, отраженных от верхней и нижней граней пленки. Условие максимума для них имеет вид, аналогичный условию Брэгга-Вульфа, но межплоскостное расстояние заменено на толщину пленки  $L$ . Угловое же расстояние между максимумами этих осцилляций в 7 раз меньше расстояния между брэгговскими пиками (на рисунке между брэгговскими пиками 6 малых максимумов). Поэтому

$$L \approx \frac{7\lambda}{2(\theta_{m+1} - \theta_m)} = 35 \text{ \AA} = 3,5 \text{ нм}.$$

Причина слабой выраженности осцилляций Киссига по сравнению с брэгговскими пиками состоит в том, что здесь в фазе находятся только две волны, отраженные от верхней и нижней сторон пленки. В брэгговских пиках в фазе находятся волны, отраженные от всех атомных плоскостей. Ситуация аналогична главным и побочным максимумам дифракционной решетки.

**5А. (Петухов В.А.)** Площадь сферической поверхности, ограниченной конусом с углом  $2\theta$  при вершине, равна  $2\pi R^2(1 - \cos\theta)$ , т.е. пропорциональна  $(1 - \cos\theta)$ . В этой формуле  $R - F$  – фокусное расстояние линзы. Разность оптических путей от сферической поверхности до точки  $O'$ , смещенной на малое расстояние  $x$  относительно центра сферы  $O$ , для центрального и красного лучей равна  $\Delta = (R+x) - (R+x\cos\theta) = x(1 - \cos\theta)$ , также пропорциональна  $(1 - \cos\theta)$ . Следовательно, применима техника зон Френеля. Минимум амплитуды будет, когда для точки  $O'$  сферическая поверхность волнового фронта занимает 2 зоны, или



$$\Delta = \lambda \rightarrow x = \lambda / (1 - \cos\theta) = \lambda / [1 - (1 - \sin^2\theta)^{1/2}] = 0,86 \text{ мкм}.$$

Менее точно задачу можно решить, используя стандартную формулу для числа зон Френеля  $m = (D^2/4\lambda)(1/a + 1/b)$ , полученную для малых углов  $\sin\theta = D/2R \ll 1$ , где  $D$  – диаметр линзы. Подставляя  $m = 2$ ,  $a = R$ ,  $b = -(R+x)$ , получим  $x = 8\lambda R^2/D^2 = 8\lambda F^2/D^2 = 2\lambda/\sin^2\theta = 1,12 \text{ мкм}$ .

*Примечание:* В решении не учитывается, что при больших углах  $\theta$  вклад от второй зоны Френеля будет меньше, чем от первой, потому что в точке наблюдения векторы электрического поля от волн, пришедших от разных участков сферического фронта, становятся неколлинеарными. Минимум будет при том же  $x$ , но сигнал в минимуме не равен 0. Грубая оценка показывает, что интенсивность в минимуме составляет несколько процентов от интенсивности в фокусе.

## ВАРИАНТ Б

**1Б. (Данилин В.А.)** Центр луча радар в плоскости  $z=L$  будет двигаться по окружности радиуса  $R = \frac{\varphi_0}{2\pi} L = 5 \text{ км}$  со скоростью  $v_{\text{луч}} \approx \Omega R = 314 \text{ м/с}$ . (см. задачу 1А). Радиус дифракционного пятна в этой же плоскости равен  $r = \frac{\lambda}{D} L = 1 \text{ км}$ . Время пересечения самолетом поперечного диаметра луча радара равно  $\tau = 2r/v = 4 \text{ с}$ . Количество попаданий самолётом в область луча

$$N = 2 \frac{\tau}{T} = 2 \frac{2r}{v} \frac{\Omega}{2\pi} = 2 \frac{\lambda}{D} \frac{L}{\pi v} \Omega = 80 \text{ раз}.$$

«Двойка» учитывает то, что самолёт пересекает окружность дважды.

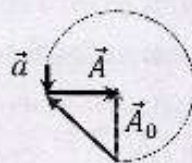


**2Б. (Вишegradов С.В.)** Значение  $m_{max}$  определяется максимальным порядком интерференции:

$m_{max} = \lambda / \Delta\lambda = 50$ . Максимальное число колец будет наблюдаться, если ограничение из-за пространственной некогерентности будет более слабым, чем ограничение из-за временной некогерентности, т.е. при  $m_2 > m_{max}$  (см. решение варианта А), откуда для  $\delta$  получаем

$$\delta = \frac{\sqrt{\lambda R / m_{max}}}{2\theta} \approx 0,2 \text{ мм}.$$

**3Б. (Локшин Г.Р.)** 1. В отсутствие плоскопараллельной пластинки векторная диаграмма для точки Р имеет вид (см. рис). Вектор  $\vec{A}$  – амплитуда колебания, созданного светом, прошедшим мимо непрозрачного диска (так называемое пятно Пуассона),  $|\vec{A}| = A_0$ ,  $A_0^2 = I_0$ . Обратим внимание, что вектор  $\vec{a}$ , изображающий вклад маленького колечка, примыкающего к краю отверстия, является последним в цепочке векторов образующих дугу окружности с углом  $3\pi/2$  и отстаёт по фазе на  $\pi/2$  от суммарного колебания, созданного всей волной, прошедшей мимо отверстия.

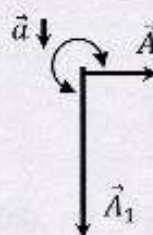


2. Линза выстраивает эту дугу в коллинеарную цепочку векторов  $\vec{A}_1$ , направленную по вектору  $\vec{a}$ , длина этой цепочки равна  $|\vec{A}_1| = \frac{3}{2}\pi A_0$ .

Плоскопараллельная пластинка вносит задержку по фазе  $\varphi = \frac{2\pi}{\lambda} (n-1)d$ .

Чтобы интенсивность стала максимальной, необходимо «повернуть» вектор  $\vec{A}$  на угол  $\varphi = \frac{3\pi}{2} + 2\pi m$ .

Отсюда получаем:  $\frac{2\pi}{\lambda} (n-1)d = \frac{3\pi}{2} + 2\pi m \Rightarrow d = \frac{(3+4m)\lambda}{4(n-1)}$ .



Максимальная интенсивность:  $I_{max} = (\frac{3}{2}\pi A_0 + A_0)^2 = (\frac{3}{2}\pi + 1)^2 I_0 \approx 32.6 I_0$ .

**4Б. (Свищов Д.А.)** Решение аналогично задаче 4А. Здесь роль межплоскостного расстояния в условии Брэгга-Вульфа играет период структуры по вертикали  $d$ , из расстояния между брэгговскими пиками находим аналогично:

$$d = \frac{\lambda}{2(\theta_{m+1} - \theta_m)} = \frac{1.54 \text{ Å}}{2 \frac{(0.61 - 0.47)\pi}{180}} \approx 30 \text{ нм}.$$

Между брэгговскими пиками наблюдается 9 побочных максимумов, связанных с интерференцией лучей, отраженных от верхней и нижней граней всей многослойной пленки. Угловое расстояние между этими максимумами, таким образом, в 10 раз меньше, чем расстояние между брэгговскими пиками. Толщина всей пленки, соответственно, в 10 раз больше периода структуры:

$$L = 10d \approx 300 \text{ нм}.$$

Стоит заметить, что обычная брэгговская дифракция, связанная со сложением волн, отраженных от различных атомных плоскостей, не играет роли, т.к. межплоскостные расстояния в материалах А и В различны. Также, в силу условия  $t_A \neq t_B$  в качестве периода структуры следует брать именно суммарную толщину пленок материалов А и В. В противном случае возможно было бы когерентное сложение волн, отраженных от всех границ раздела, и в качестве периода структуры следовало бы подставить  $t_A = t_B = d/2$ .

**Замечание** Заметим также, что обе задачи можно было бы решить формально, просуммировав с учетом фазы амплитуды волн, отраженных от последовательных межатомных плоскостей (включив в рассмотрение волну, отраженную от нижней грани структуры)

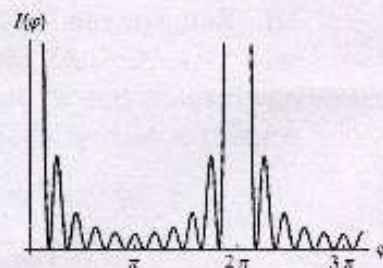
$$A = \sum_{m=0}^N |A_m| \exp\left(2\pi m i \frac{2d \sin \theta}{\lambda}\right),$$

где  $N = L/d$ . В реальных экспериментах  $|A_k|$  зависят сложным образом от номера отражающего слоя, что приводит к экспоненциальному спаду интенсивности  $I(\theta)$ . В самой простой модели можно считать  $|A_k| = A_0 = \text{const}$ , и получить



$$A = A_0 \frac{e^{i(N+1)\varphi} - 1}{e^{i\varphi} - 1}, \quad \varphi = 2\pi \frac{2d \sin \theta}{\lambda} \Rightarrow I(\varphi) = |A|^2 = A_0^2 \left( \frac{\sin[(N+1)\varphi/2]}{\sin[\varphi/2]} \right)^2$$

График функции  $I(\varphi)$  для  $N=10$  представлен на рисунке. Видно, что между главными брэгговскими максимумами расположено 9 побочных максимумов (осцилляций Киссига), что оправдывает наше не очень формальное решение.



**5Б. (Петухов В.А.)** См. решение задачи 5А.

$$\cos \theta = (1 - D^2/4F^2)^{1/2} \rightarrow x = \lambda[1 - (1 - D^2/4F^2)^{1/2}] = 11,5 \text{ мкм.}$$

Менее точный ответ даёт  $x = 8\lambda F^2/D^2 = 11,8 \text{ мкм}$  (т.е. здесь это приближение оправдано).

### Вниманию преподавателей!

Оценку каждой задачи предлагается отображать в итоговой таблице символами, каждому из которых соответствует определённое количество баллов. Итоговая оценка по десятибалльной шкале определяется как округлённая до целого величина  $2\Sigma$ , где  $\Sigma$  — сумма баллов за задачи.

оценка	баллы	комментарий
+	1	Чисто решенная задача — приведено обоснованное решение, аналитический и численный ответ которого совпадает с ответом авторов задачи.
+	0.9	Задача решена, но есть мелкие недочёты (не приведён в явном виде необходимый логический аргумент; арифметическая ошибка, не приведшая к заведомо абсурдному ответу; и т.п.)
+	0.7	Задача решена, в общем, верно, но есть существенные недочёты (из-за арифметической ошибки приведён заведомо абсурдный численный ответ; нет численного ответа; ошибки в формулах вследствие опечаток; отсутствуют необходимые промежуточные доказательства и т.п.)
+/-	0.5	Задача решена наполовину (дан ответ только на часть вопросов задачи, если их несколько; выкладки не доведены до конца; есть ошибки в части выкладок вследствие недостаточной математической подготовки; принципиально важные промежуточные результаты приведены без доказательства и т.п.)
+	0.3	Задача не решена, но есть существенные подвижки в ее решении (есть исходная система уравнений и начаты, но не доведены до конца выкладки; либо в выкладках есть логические ошибки, приведшие к существенно неверному ответу; и т.п.)
.	0.1	Задача не решена, но есть незначительное продвижение в решении (записаны уравнения для основных законов, на основе которых задача может быть решена)
—	0	Основные законы записаны с ошибками, или подход к решению задачи принципиально неверен.
0	0	Попытки решить задачу не было.

Оценка 10 (т.е. отл+ по пятибалльной шкале) может ставиться только за 5 чисто решённых задач, получившие эту оценку студенты могут быть рекомендованы преподавателем лектору для получения отличной оценки без устного экзамена (преподаватель не обязан рекомендовать, а лектор не обязан соглашаться).

**Обсуждение письменного экзамена состоится в понедельник 15.06.2015 в 8 час. 30 мин. в Главной Физической аудитории.**